

## МНОГОКРАТНАЯ ИОНИЗАЦИЯ ТОМАС-ФЕРМИЕВСКОГО КЛАСТЕРА СИЛЬНЫМ ЭЛЕКТРОМАГНИТНЫМ ПОЛЕМ

*М. Б. Смирнов, В. П. Крайнов\**

*Московский физико-технический институт  
141700, Долгопрудный, Московская обл., Россия*

Поступила в редакцию 4 февраля 1999 г.

Развита новая модель томас-фермиевского кластера, описывающая распределение электронов в щелочных кластерах с большим числом атомов. Рассмотрен процесс классической многократной ионизации такого кластера сильным электромагнитным полем. Вычислена степень ионизации как функция напряженности поля.

### 1. ВВЕДЕНИЕ

Проблема многократной ионизации атома (а также молекулы) Томаса—Ферми сильным низкочастотным полем лазерного излучения рассматривалась теоретически в ряде работ [1-4]. В этих работах многоэлектронный атом моделируется в приближении Томаса—Ферми [5], а лазерное излучение «обдирает» электроны атома, превращая его в ион, начиная с наружных оболочек и вплоть до тех электронов, для которых надбарьерная (классическая) ионизация прекращается. Квантовое туннелирование оставшихся атомных электронов под эффективным потенциальным барьером за время лазерного импульса значительно менее вероятно, чем быстрая надбарьерная ионизация, и им в рамках такой модели пренебрегают. Кроме того, ввиду очень резкой зависимости вероятности ионизации от интенсивности электромагнитного поля процесс ионизации имеет место только в окрестности максимума интенсивности, так что ионизирующее электрическое поле можно считать вообще постоянным. Такой квазистатистический подход к задаче ионизации справедлив при небольших значениях параметра Келдыша [6], соответствующих высоким значениям интенсивности электромагнитного поля в оптическом диапазоне частот. Поля мощных современных титан-сапфировых лазеров вполне удовлетворяют этим условиям.

Цель данной работы — обобщить модель Томаса—Ферми на случай щелочных кластеров, содержащих большое число атомов, и описать процесс классической (надбарьерной) многократной ионизации таких кластеров в сильном электромагнитном поле. При этом сами щелочные кластеры рассматриваются в традиционной модели «желе» (см. обзор [7]). Эта модель предполагает, что плотность атомарных ионов постоянна и не зависит от радиальной координаты. Кластерные электроны самосогласованно подстраиваются под заданное таким образом ионное распределение. Они заполняют оболочки, аналогичные оболочкам в атоме. При большом числе электронов оболочечная картина заменяется в модели Томаса—Ферми, как и в случае атома, непрерывным распределением электронной плотности.

\*E-mail: krainov@theory.mipt.ru

## 2. МОДЕЛЬ ТОМАСА—ФЕРМИ

Уравнение Пуассона для электростатического потенциала  $\varphi$  в кластере имеет простой вид:

$$\Delta\varphi = 4\pi(n_e - n_i). \quad (1)$$

Здесь  $n_e$ ,  $n_i$  — концентрация электронов и ионов, соответственно. Всюду используется атомная система единиц  $\hbar = e = m_e = 1$ . В модели «желе» концентрация ионов постоянна и имеет вид

$$n_i = \frac{Z\eta(R-r)}{(4\pi/3)R^3}, \quad (2)$$

где  $Z$  — число атомов в рассматриваемом кластере,  $R$  — радиус ионной подсистемы,  $\eta(x)$  — единичная ступенчатая функция Хевисайда.

В соответствии с моделью Томаса—Ферми для ионов [8] потенциал  $\varphi$  связан с концентрацией электронов  $n_e$  простым соотношением:

$$n_e = \frac{(2(\varphi - \varphi_e))^{3/2}}{3\pi^2}. \quad (3)$$

Здесь

$$\varphi_e = \varphi(r_e) \quad (4)$$

— электростатический потенциал на границе электронного распределения  $r_e$ .

Из (1)–(3) получаем замкнутое уравнение для электростатического потенциала при  $r < r_e$ :

$$\Delta\varphi = \frac{1}{r} \frac{d^2}{dr^2}(r\varphi) = 4\pi \left[ \frac{1}{3\pi^2} (2(\varphi - \varphi_e))^{3/2} - \frac{Z\eta(R-r)}{(4\pi/3)R^3} \right]. \quad (5)$$

Граничные условия для этого дифференциального уравнения второго порядка имеют вид

$$\frac{d\varphi}{dr}(r=0) = 0, \quad \varphi(r=r_e) = \varphi_e. \quad (6)$$

Первое из этих условий соответствует нулевому значению напряженности электрического поля в начале координат сферического кластера (в отличие от томас-фермиевского атома). Второе условие, согласно (3), соответствует границе  $r_e$  электронного распределения для заряженного кластерного иона (заряд образуется в процессе его ионизации электрическим полем).

Решение снаружи электронного распределения (при  $r > r_e$ ) зависит от соотношения между радиусом электронного и ионного распределений. Если  $r_e > R$ , то задача достаточно проста. В этом случае при  $r > r_e$  снаружи электронного распределения потенциал кластерного иона определяется кулоновским полем зарядов  $Z$  и  $-Z'$ :

$$\varphi(r) = \frac{Z - Z'}{r}. \quad (7)$$

Умножая (5) на  $r^2$  и интегрируя по радиальной координате, легко проверить, что на границе электронного распределения непрерывен не только потенциал, но и его радиальная производная, т. е.

$$\varphi'(r_e) = -\frac{Z - Z'}{r_e^2}. \quad (8)$$

Это уравнение позволяет определить величину  $Z'$  через  $r_e$ , так как левая часть (8) известна из решения уравнения (5).

Ситуация обстоит несколько сложнее в случае  $r_e < R$ . Решение (7) справедливо тогда лишь в области  $r > R$ . В области  $r_e < r < R$  решение для потенциала имеет вид (используется решение электростатической задачи о равномерно заряженном по объему ионном шаре):

$$\varphi(r) = -\frac{Z'}{r} - \frac{Zr^2}{2R^3} + \frac{3Z}{2R}. \quad (9)$$

Сшивка на границе электронного распределения с внутренним решением (5) позволяет выразить число электронов  $Z'$  через радиус  $r_e$ . Вместо (8) получим

$$\varphi'(r_e) = -\frac{Z(r_e/R)^3 - Z'}{r_e^2}. \quad (10)$$

Уравнение (4) с граничными условиями (5) решалось численно для типичного примера кластера, содержащего  $Z = 100$  атомов натрия. Концентрация ионов бралась равной концентрации твердотельного кристаллического натрия [9], т. е.  $n_i = 2.652 \times 10^{22} \text{ см}^{-3}$ . Согласно (2) ионный радиус такого кластера равен  $R = 18.25 \text{ а.е.}$

Типичная потенциальная энергия электрона  $-\varphi$  для положительно заряженного кластера (выраженная в атомных единицах) показана на рис. 1 (кривая 1) в зависимости от радиальной координаты (также в атомных единицах) для случая  $Z' = 54$  (примерно наполовину ионизованный кластер). В этом случае  $r_e = 16.25 \text{ а.е.} < R = 18.25 \text{ а.е.}$  Видно, что в большей части электронного распределения (заштрихованная область) потенциал постоянен, т. е. электрическое поле отсутствует. Значение  $\varphi(0) = 2.82 \text{ а.е.} \sim 77 \text{ эВ}$  дает оценку энергии связи внутренних электронов в таком кластере. Граница Ферми (горизонтальная прямая на рис. 1) соответствует электронам с энергией  $2.70 \text{ а.е.} \sim 73 \text{ эВ}$ . Отметим, что для нейтрального кластера ( $Z = Z'$ ) энергия связи внутренних электронов гораздо меньше, а именно,  $\varphi(0) = 0.12 \text{ а.е.} = 3.26 \text{ эВ}$ .

На рис. 2 показана концентрация ионов  $n_i$  (2) (штриховая линия), а также концентрации электронов  $n_e$ , вычисленные согласно соотношению (3) через найденный потенциал для различных значений заряда кластерного иона (случай, показанный на рис. 1, соответствует кривой 3 на рис. 2). Видно, что радиус электронного распределения нейтрального кластера (кривая 1 на рис. 2) близок к радиусу ионного распределения. Однако электронное распределение размыто значительно сильнее, чем ионное. В общем случае распределение электронов нормировано на их число  $Z'$  в ионизованном кластере:

$$4\pi \int_0^\infty n_e(r)r^2 dr = Z' \leq 4\pi \int_0^\infty n_i(r)r^2 dr = Z. \quad (11)$$

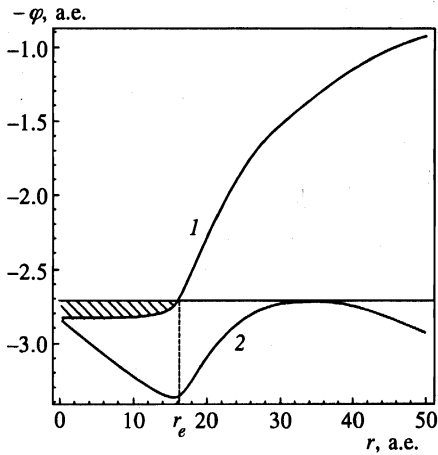


Рис. 1

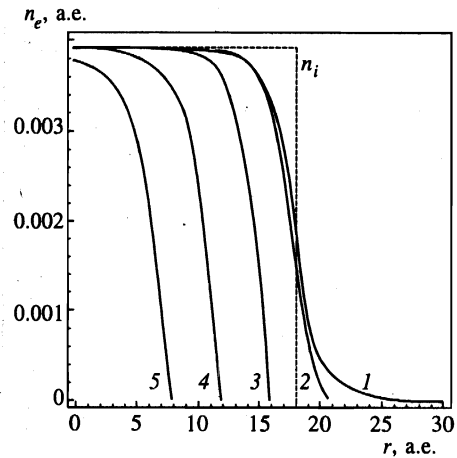


Рис. 2

Рис. 1. Невозмущенная потенциальная энергия  $-\varphi(r)$  для кластера из 100 атомов натрия, содержащего 54 электрона (кривая 1). Заштрихована область, занятая электронами. Эффективная потенциальная энергия (кривая 2) вычислена по формуле (12) для значения напряженности поля  $F = 0.04$  а.е., соответствующей (13). Горизонтальная прямая — граница Ферми для электронов. Вертикальная штриховая прямая соответствует границе электронного распределения

Рис. 2. Концентрация электронов  $n_e$  в кластерных ионах из 100 атомов натрия в зависимости от радиальной координаты: 1 — нейтральный кластер ( $Z = Z' = 100$ ); 2 —  $Z' = 92.3$ ; 3 —  $Z' = 54.35$ ; 4 —  $Z' = 22.7$ ; 5 —  $Z' = 4.9$ . Штриховая кривая — концентрация ионов  $n_i$

Для кривых 1–5 на рис. 2 значениям  $r_e = \infty, 21.2, 16.25, 12.2$  и  $8$  а.е. соответствуют числа электронов  $Z' = 100, 92.3, 54.35, 22.7$  и  $4.9$ . Из вида этих кривых можно сделать вывод, что во всех случаях имеется внутренняя область электронного распределения, где концентрация электронов не зависит от радиальной координаты, т.е. на электрон не действует сила притяжения к центру.

Конечно, при небольшом числе электронов кластерный ион представляет собой нестабильное образование из-за сильного взаимного кулоновского отталкивания ионов, и он быстро распадается.

### 3. МНОЖЕСТВЕННАЯ ИОНИЗАЦИЯ КЛАСТЕРА

До сих пор мы рассматривали кластер в отсутствие внешнего поля. Теперь в соответствии с рассуждениями во Введении о квазистационарности низкочастотного электромагнитного поля включим постоянное электрическое поле напряженностью  $F$ . Оно превращает нейтральный кластер в кластерный многократно заряженный ион, отрывая классически определенное число электронов. Величина напряженности  $F$  может быть связана с зарядом  $Z - Z'$ , оставшимся после вылета электронов, соотношением,

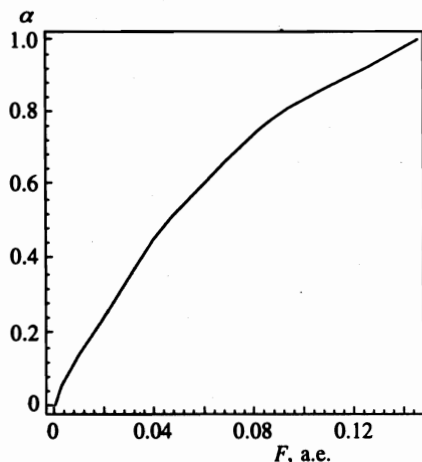


Рис. 3. Степень ионизации кластера из 100 атомов натрия как функция напряженности электрического поля  $F$  (в атомных единицах)

вытекающим из выражения для эффективного потенциала (см. кривую 2 на рис. 1)

$$V = -\varphi(r) - Fr \approx -\frac{Z - Z'}{r} - Fr. \quad (12)$$

Находя максимум этого выражения (он лежит в области вне электронного и ионного распределений) и приравнявая максимальное значение эффективного потенциала энергии Ферми  $\varphi_e$ , получим значение напряженности электрического поля  $F$ , приводящее к кластеру с данной кратностью ионизации (эта зависимость аналогична формуле Бете для случая ионизации атома [10, формула (54.2)]):

$$F = \frac{(\varphi(r_e))^2}{4(Z - Z')}. \quad (13)$$

Конечно, в действительности электрическое поле направлено вдоль какой-то декартовой оси, а не вдоль радиальной переменной. Мы предполагаем, что при быстрой ионизации (за атомные времена) первых электронов, находящихся на оси, вдоль которой действует внешнее поле, последующие электроны быстро займут их место и будут затем также ионизованы вдоль этой же оси с образованием кластерного многократно заряженного иона. Процесс является самосогласованным, так как потенциал кластерного иона меняется в процессе ионизации.

Для рассматриваемого примера натриевого кластера со 100 атомами степень ионизации, определяемая как  $\alpha = (Z - Z')/Z$ , рассчитана и показана на рис. 3. Видно, что многократная ионизация кластера имеет место в диапазоне напряженностей электрического поля вплоть до 0.14 а.е. Для масштаба полей, указанных на рис. 3, параметр Келдыша мал по сравнению с единицей, так что процесс ионизации заведомо можно считать квазистатическим (см. Введение). Вылетевшие электроны ориентированы вдоль направления вектора электрического поля (т. е. вдоль направления поляризации линейно поляризованного лазерного излучения) [11].

После окончания лазерного импульса оставшиеся электроны, а также ионы разлетаются сферически-симметрично под действием сил кулоновского отталкивания (кулоновский взрыв кластерного иона).

В заключение отметим, что рассматриваемый здесь численный пример является достаточно типичным, и все описанные явления будут иметь место и для кластеров из других атомов и с другим числом частиц.

Работа выполнена при финансовой поддержке Российского фонда фундаментальных исследований (грант № 99-02-17810).

## Литература

1. В. П. Крайнов, Э. А. Маныкин, Украинский физ. журнал **25**, 400 (1980).
2. V. Kresin, Phys. Rep. **220**, 1 (1992).
3. M. Brewczyk, K. Rzazewski, and C. W. Clark, Phys. Rev. Lett. **78**, 191 (1997).
4. M. Brewczyk, C. W. Clark, M. Lewenstein, and K. Rzazewski, Phys. Rev. Lett. **80**, 1857 (1998).
5. Л. Д. Ландау, Е. М. Лифшиц, *Квантовая механика*, Изд. 4-е. Наука, Москва (1989).
6. Л. В. Келдыш, ЖЭТФ **45**, 1945 (1964).
7. Б. М. Смирнов, УФН **162**, 97 (1992).
8. З. Флюгге, *Задачи по квантовой механике*, Мир, Москва (1974), т. 2.
9. Ч. Киттель, *Введение в физику твердого тела*, Наука, Москва (1978).
10. Г. Бете, Э. Солпитер, *Квантовая механика атомов с одним и двумя электронами*, Физматгиз, Москва (1960).
11. Н. Б. Делоне, В. П. Крайнов, УФН **168**, 531 (1998).